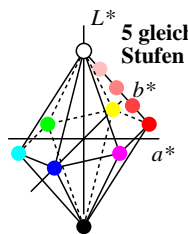


8 Gerätefarben (d) in CIELAB: OYLCVM und NW

Sechseck-Dreieck-System von Gerätefarben (d):  $rgb_d^* = olv^*$  mit **lineare Beziehungen** zwischen  $rgb_d^*$  und  $LCH^*$  (vergleiche lineare Beziehungen zwischen  $rgb_{sRGB}$  und  $L^*$ )



Gleichungen  $rgb_d^* - LCH^*$  in beiden Richtungen sind publiziert: Richter, CIE-Proceedings, Beijing, 2008, Volume 3 und DIN 33872-1  
 Drei Gleichungen (Tabellen) sind erforderlich für Büroanwendungen:  
 $rgb_d - LCH^{**}$  für ein 9x9x9-Gitter von  $rgb_d$ -Eingabefarben  
 $rgb_d^* - LCH^*$  ein 9x9x9-Gitter von Daten  $rgb_d^*$  und  $LCH^*$   
 $rgb_d^* - LCH^*$  Geräte-Linearisierung durch  $rgb_d \rightarrow rgb_d'$

IG16I-1N

8 Gerätefarben (d) in CIELAB: OYLCVM und NW

Sechseck-Dreieck-System von Gerätefarben (d):  $rgb_d^* = olv^*$  mit **lineare Beziehungen** zwischen  $rgb_d^*$  und  $LCH^*$  (vergleiche lineare Beziehungen zwischen  $rgb_{sRGB}$  und  $L^*$ )



Gleichungen  $rgb_d^* - LCH^*$  in beiden Richtungen sind publiziert: Richter, CIE-Proceedings, Beijing, 2008, Volume 3 und DIN 33872-1  
 Drei Gleichungen (Tabellen) sind erforderlich für Büroanwendungen:  
 $rgb_d - LCH^{**}$  für ein 9x9x9-Gitter von  $rgb_d$ -Eingabefarben  
 $rgb_d^* - LCH^*$  ein 9x9x9-Gitter von Daten  $rgb_d^*$  und  $LCH^*$   
 $rgb_d^* - LCH^*$  Geräte-Linearisierung durch  $rgb_d \rightarrow rgb_d'$

IG16I-3N

8 Gerätefarben (d), 4 CIELAB-Elementar-Bunntonwinkel (h): OYLCVM, NW, RJGB<sub>h</sub>

Sechseck-Dreieck-System von Gerätefarben (d):  $rgb_d^* = olv^*$  mit **lineare Beziehungen** zwischen  $rgb_d^* - LCH^*$ , and  $rgb_h^* - LCH^*$  (vergleiche lineare Beziehungen zwischen  $rgb_{sRGB}$  und  $L^*$ )



Gleichungen  $rgb_d^* - LCH^*$  in beiden Richtungen sind publiziert: Richter, CIE-Proceedings, Beijing, 2008, Volume 3 und DIN 33872-1  
 Drei Gleichungen (Tabellen) sind erforderlich für Büroanwendungen:  
 $rgb_d - LCH^{**}$  für ein 9x9x9-Gitter von  $rgb_d$ -Eingabefarben  
 $rgb_h^* - LCH^*$  ein 9x9x9-Gitter von Daten  $rgb_h^*$  und  $LCH^*$   
 $rgb_h^* - LCH^*$  Geräte-Linearisierung durch  $rgb_d \rightarrow rgb_h'$

IG16I-5N

8 Gerätefarben (d), 4 CIELAB-Elementar-Bunntonwinkel (h): OYLCVM, NW, RJGB<sub>h</sub>

Sechseck-Dreieck-System von Gerätefarben (d):  $rgb_d^* = olv^*$  mit **lineare Beziehungen** zwischen  $rgb_d^* - LCH^*$ , and  $rgb_h^* - LCH^*$  (vergleiche lineare Beziehungen zwischen  $rgb_{sRGB}$  und  $L^*$ )

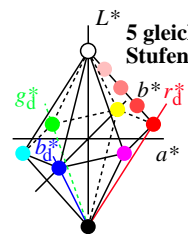


Gleichungen  $rgb_d^* - LCH^*$  in beiden Richtungen sind publiziert: Richter, CIE-Proceedings, Beijing, 2008, Volume 3 und DIN 33872-1  
 Drei Gleichungen (Tabellen) sind erforderlich für Büroanwendungen:  
 $rgb_d - LCH^{**}$  für ein 9x9x9-Gitter von  $rgb_d$ -Eingabefarben  
 $rgb_h^* - LCH^*$  ein 9x9x9-Gitter von Daten  $rgb_h^*$  und  $LCH^*$   
 $rgb_h^* - LCH^*$  Geräte-Linearisierung durch  $rgb_d \rightarrow rgb_h'$

IG16I-7N

8 Gerätefarben (d) in CIELAB: OYLCVM und NW

Sechseck-Dreieck-System von Gerätefarben (d):  $rgb_d^* = olv^*$  mit **lineare Beziehungen** zwischen  $rgb_d^*$  und  $LCH^*$  (vergleiche lineare Beziehungen zwischen  $rgb_{sRGB}$  und  $L^*$ )

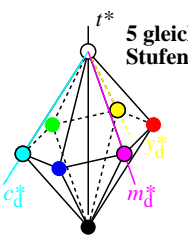


Gleichungen  $rgb_d^* - LCH^*$  in beiden Richtungen sind publiziert: Richter, CIE-Proceedings, Beijing, 2008, Volume 3 und DIN 33872-1  
 Drei Gleichungen (Tabellen) sind erforderlich für Büroanwendungen:  
 $rgb_d - LCH^{**}$  Ausgabe eines 9x9x9-Gitters von  $rgb_d$ -Eingabefarben  
 $rgb_d^* - LCH^*$  ein 9x9x9-Gitter von Daten  $rgb_d^*$  und  $LCH^*$   
 $rgb_d^* - LCH^*$  Geräte-Linearisierung durch  $rgb_d \rightarrow rgb_d'$

IG16I-3N

8 Gerätefarben (d) in CIELAB: OYLCVM und NW

Sechseck-Dreieck-System von Gerätefarben (d):  $cmy_d^* = 1 - rgb_d^* = 1 - olv^*$  mit **lineare Beziehungen** zwischen  $cmy_d^*$  und  $LCH^*$  (vergleiche lineare Beziehungen zwischen  $rgb_{sRGB}$  und  $L^*$ )

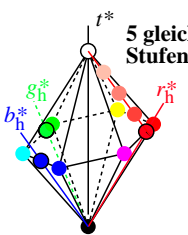


Gleichungen  $rgb_d^* - LCH^*$  in beiden Richtungen sind publiziert: Richter, CIE-Proceedings, Beijing, 2008, Volume 3 und DIN 33872-1  
 Drei Gleichungen (Tabellen) sind erforderlich für Büroanwendungen:  
 $cmy_d - LCH^{**}$  Ausgabe eines 9x9x9-Gitters von  $cmy_d$ -Eingabefarben  
 $cmy_d^* - LCH^*$  ein 9x9x9-Gitter von Daten  $cmy_d^*$  und  $LCH^*$   
 $cmy_d^* - LCH^*$  Geräte-Linearisierung durch  $cmy_d \rightarrow cmy_d'$

IG16I-3N

8 Gerätefarben (d), 4 Elementar-Bunntöne (h) in CIELAB: OYLCVM, NW, RJGB<sub>e</sub>

Sechseck-Dreieck-System von Gerätefarben (d):  $rgb_d^* = olv^*$  mit **lineare Beziehungen** zwischen  $rgb_d^* - LCH^*$ , and  $rgb_h^* - LCH^*$  (vergleiche lineare Beziehungen zwischen  $rgb_{sRGB}$  und  $L^*$ )

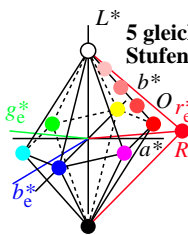


Gleichungen  $rgb_h^* - LCH^*$  in beiden Richtungen sind publiziert: Richter, CIE-Proceedings, Beijing, 2008, Volume 3 und DIN 33872-1  
 Drei Gleichungen (Tabellen) sind erforderlich für Büroanwendungen:  
 $rgb_d - LCH^{**}$  Ausgabe eines 9x9x9-Gitters von  $rgb_d$ -Eingabefarben  
 $rgb_h^* - LCH^*$  ein 9x9x9-Gitter von Daten  $rgb_h^*$  und  $LCH^*$   
 $rgb_h^* - LCH^*$  Geräte-Linearisierung durch  $rgb_d \rightarrow rgb_h'$

IG16I-5N

8 Gerätefarben (d), 4 Elementarfarben (e) in CIELAB: OYLCVM, NW, RJGB<sub>e</sub>

Sechseck-Dreieck-System von Gerätefarben (d):  $rgb_d^* = olv^*$  mit **lineare Beziehungen** zwischen  $rgb_d^* - LCH^*$ , and  $rgb_e^* - LCH^*$  (vergleiche lineare Beziehungen zwischen  $rgb_{sRGB}$  und  $L^*$ )



Gleichungen  $rgb_d^* - LCH^*$  in beiden Richtungen sind publiziert: Richter, CIE-Proceedings, Beijing, 2008, Volume 3 und DIN 33872-1  
 Drei Gleichungen (Tabellen) sind erforderlich für Büroanwendungen:  
 $rgb_d - LCH^{**}$  Ausgabe eines 9x9x9-Gitters von  $rgb_d$ -Eingabefarben  
 $rgb_e^* - LCH^*$  ein 9x9x9-Gitter von Daten  $rgb_e^*$  und  $LCH^*$   
 $rgb_e^* - LCH^*$  Geräte-Linearisierung durch  $rgb_d \rightarrow rgb_e'$

IG16I-7N

Siehe Original/Kopie: http://web.me.com/klaus.richter/IG16/IG16L0NA.PS /.TXT  
 Technische Information: http://www.ps.bam.de oder http://130.149.60.45/~farbmetrik

TUB-Registrierung: 20090701-IG16/IG16L0NA.PS /.TXT  
 Anwendung für Messung von Drucker- oder Monitorsystemen

TUB-Material: Code=rh4ta